



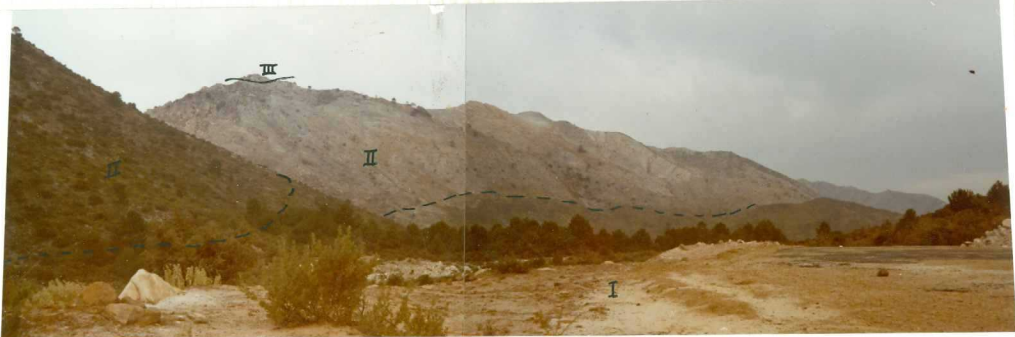
1545IBEP Carretera de Marbella a Ojen. km 7,5
 Estación 1018 Cantera en los mármoles blancos masi-
 vos T_A Δ de la Sierra Blanca con un -
 dique más oscuro de anfibolita ξ A.



1545IBEP

Nivel de calizas tableadas c correspondiente a las calizas alabeadas
del Ordovícico-Silúrico, en la carretera de Istán.

Estación 1023



1545IBEP Panorámica desde la base de La Cruz de Juanar, en la que se observa las
Estación 1105 tres unidades de mármol.

I Mármol de contacto $T_A \Delta D$

II Mármol fajeado azul $T_A \Delta \xi A$

III Mármol blanco masivo $T_A \Delta$

Esta última unidad, alóctona, solo aparece a modo de montera.

1545IBEP Conglomerado poligénico H^B del Carbonífero superior, conocido
Estación 1223 también como "conglomerado de Marbella".





1545IBEP Conglomerado poligénico H^B del Carbonífero
Estación 1241 superior. "Conglomerado de Marbella".



1545IBEP *Nivel de limos y arcillas pliocenas, $T \frac{B}{2} m$ cercano al
Estación 1385 pueblo de El Angel.*



1545IBEP Mármoles fajeados $T_A \Delta \xi A$ de la unidad II de manto
Estación 1415 Nevado Filábride.



1545IBEP *Gneis migmatíticos ζ SILL con textura epibolítica*
Estación 1517 *del manto Alpujárride próximo a las peridotitas.*



1545IBEP

Estación 1518

Igual a la 1517 ſ SILL



1545IBEP

Pliego anticlinal de plano axial vertical en los esquistos ξ

Estación 1529

Alpujárrides, cercano al Coscojar.



1545IBCC
Estación 2264

Carretera de Ojen a Monda. Sierra Caruche. Contacto mecánico entre los mármoles blancos $T_A \Delta$ y los mármoles azules tableados $T_A \Delta \xi A$. En primer término los mármoles de contacto $T_A \Delta D$ disgregados por la meteorización.



1545IBCC *Detalle del mármol de contacto $T_A \Delta D$ que aflora en el núcleo anticlinal de la Sierra Blanca. Carretera de Ojen al Refugio de Juanar.*
Estación 2289



1545IBCC *Esterbaciones nororientales de la Sierra*
Estación 2292 *Blanca (cerca del Puente de Monda).* -
 Bancadas de mármoles blancos masivos
 T_A Δ alternando con niveles cuarcitosos y esquistosos T_A §



1545IBCC Puerto Verde (Puerto Capitán). Contacto mecánico entre
Estación 2400 los esquistos & alpujárrides (zona de vegetación de alcor-
noques y pinsapos) y las peridotitas σ O_a (zona pelada)



1545IBCC

Estación 2442

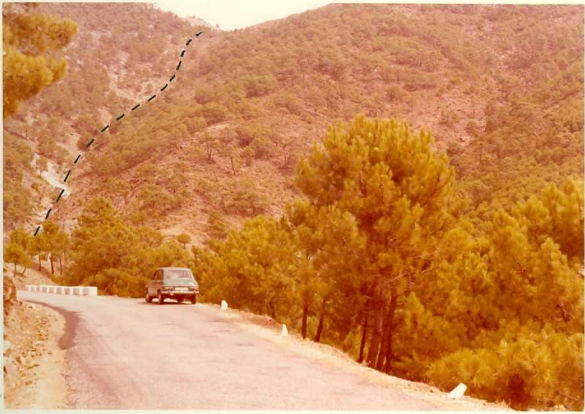
Cerro Redondo, Contacto de la peridotita o O
con los neises granitoides ſ R



1545IBCE

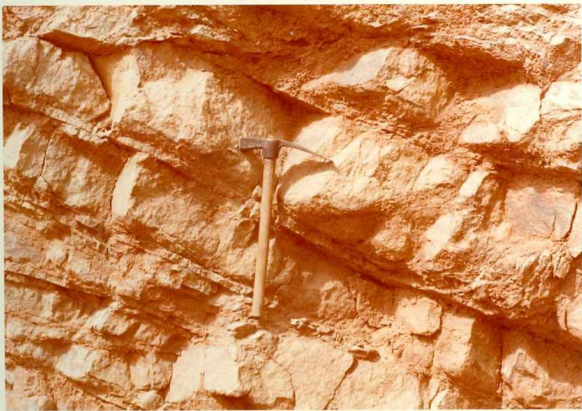
Estación 527

Carretera de San Pedro de Alcántara a Ronda, Contacto
de las peridotitas σ O_a con la Unidad de Nieves (mármo-
les de metamorfismo de contacto ΔX)



1545IBCE

Carretera de Ronda km. 20,300. Vista del contacto de las
Estación 528 peridotitas σ O_a con la Unidad de las Nieves. Δ X



1545IBCE Carretera de Ronda a San Pedro de Alcántara km. 20,200
Estación 529 Falsa estratificación de las peridotitas. σO_a



1545/BCE
Estación 530

Carretera de Ronda a San Pedro de Alcántara km. 20,5.
Mina abandonada de magnetita. S Trituración tectónica de la serpentina.



1545IBCE

Estación 531

Carretera de San Pedro de Alcántara a Ronda, km 20,5

Mina abandonada de magnetita S, ΔX . Contacto –
serpentina-mármol.



1545IB CE Carretera de Ronda a San Pedro de Alcántara. km. 20,5

Estación 532 Mina abandonada de magnetita S, Δ X . A la derecha,
contacto mecánico mármol-serpentina. Centro izquier-
da; contacto intrusivo.



1545IBCE Carretera de San Pedro de Alcántara a Ronda. km. 20,5
Estación 533 Mina abandonada de magnetita S . Los mármoles Δ X
 de la Unidad de las Nieves, subverticales y muy replegados, son cortados a los pies de la figura humana por la serpentina. Contacto intrusivo



1545IBCE

Carretera de San Pedro de Alcántara a Ronda, km 14,50

Estación 534

Brecha de la Nava C - T₁^{Ba}



1545IBCE

Carretera de San Pedro de Alcántara a Ronda. Detalle
Estación 535 de la brecha de la Nava C - T₁^{Ba}



1545IBCE

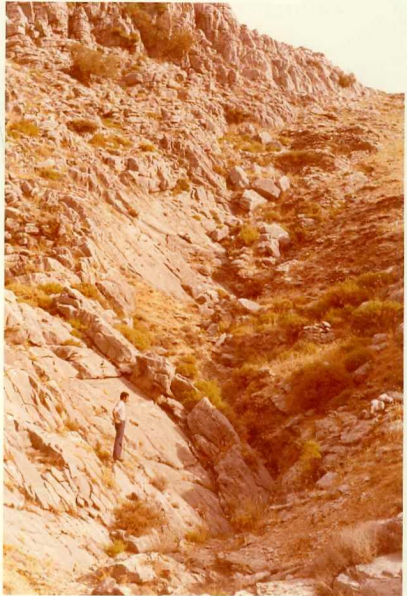
Carretera de Ronda a Cartajima, km 3. Manto alpujarride sobre el
Complejo Subbético. A la izquierda queda aislado un klippe.

Estación 536



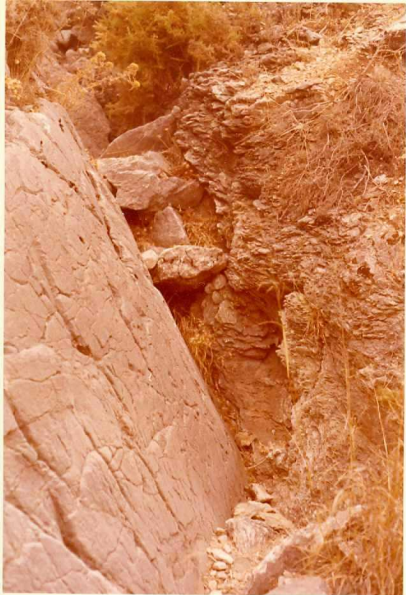
1545IBCE
Estación 537

Carretera de Ronda a Cartajima km. 3. Panorámica de la falla que pone en contacto Cretácico C con Jurásico J₃ ambos del Complejo Subbético.



1545IBCE
Estación 538

Carretera de Ronda a Cartajima. Falla de gravedad que pone en contacto el Cretáci co C y el Jurásico J₃ del Complejo Sub bético. La figura humana está sobre el es pejo de la falla.



1545IBCE
Estación 539

Carretera de Ronda a Cartajima. Plano de
la falla que pone en contacto el Cretácico
C con el Jurásico J_3 del Conjunto Subbético.



1545/BCE
Estación 540

Parauta (Málaga). Paleozoico Alpujárride cabalgante
sobre la Unidad de las Nieves.



1545IBCE

Estación 541

Carretera de Igualeja a Pujerra. Dique leucocrático §
turmalinífero que atraviesa los neises alpujárrides.



1545IBCE
Estación 542

Dique cuarzo-feldespático σ entre los
neises alpujárrides en la carretera de
Igualeja a Pujerra.



1545IBCE

Estación 543

Carretera de Igualeja a Pujerra. Detalle del
neis alpujárride. ζ sill.